

名古屋大学工学部	正会員	松尾 穣
京都大学工学部	学生会員	浅岡 順
京都大学工学部	学生会員	○税所 朗

1はじめに：複合地盤の支持力に関する研究がなされてきたが、本報告においては、2次元モデルについて、単純砂盤の極限荷重を検討し、剛塑性論から計算された支持力値と、モデル地盤との実験値とが、いかなる対応を示すかに注目した。

2 実験による考察：
2-1 実験的目的 ①砂壁と粘土との境界の状態を調べ計算の一助とした。②剛塑性論によると支持力値が実際にはどの程度の変形(くくに沈下)を行ふか、③支持力式に用いられた係数値は、土盤試験のどのような状態のものがよいか、の3点である。
2-2 実験試料 粘土地盤には粒状乾燥状態にあたる粘土と、これとほぼ同量の水とミキサーで練り混ぜた飽和粘土用い、砂盤には粗骨標準砂を用いた。粘土の一軸圧縮試験結果を図1に、砂の一面で人割試験結果を図2に示す。
2-3 実験装置 図3に示す。粘土側と砂側への載荷は、各々 50cm × 36cm, 50cm × 9mm の底より厚さ 9mm の鉄板と同面積の厚さ 7mm のゴム板を介して、3 本のジャッキを行なった。ジャッキは各々独立動作する。偏心を避けるため自在球座を用いた。
2-4 実験方法 最初粘土側への拘束圧をゼロにし、砂盤部分にのみ載荷する。このとき砂盤の沈下と粘土地盤の浮き上りを同時に測定する。荷重沈下曲線が急激な折れ曲りを示すまで載荷をつづけよが最終沈下量は 1cm 強であった。これが 1 回切りである。次に粘土地盤へ拘束圧をかけ、これで一定に保つたまま砂盤側へ載荷する。拘束荷重と種々変化させ同一連の載荷試験を行なう。こうした連続した載荷試験により有用なデータが得られると考えたのは、粘土がよく挿り込まれており、鉛直比がほとんど 1 であることによる。粘土の圧密度と種々変化させ (C_u と変化させ) 同様の試験を繰り返した。
2-5 実験結果 粘土側と砂盤側との境界面は実験後の強制 ε_1 , ε_2 (図5) 粘土部分が水平に押されたりすること、すなわち境界面上での速度の水平成分が一定であることが予想される。また荷重沈下曲線は図6に示す。ここで C_u 値は、全体に 10^2 kg/cm^2 のオーダーであるため供試体の自重と考慮して測定した。なお図6中の C_u 値は便宜上 15% ひずみに対応した C_u 値。
2-6 結果の統計解析による整理 支持力と規定する砂盤の沈下量を S , C_u を規定する一軸圧縮試験のひずみ量を ε_1 とすると、 S, ε_1 によると支持力に関する実験式の係数は変化する。そのため、 S と ε_1 と $7\text{mm}, 8\text{mm}, 10\text{mm}$ とし、 ε_1 と $\varepsilon_2, 2\%, 11\%, 15\%$ とし実験値を整理したもののが表1である。この表をもとに支持力 P_c , C_u に関する要因分析し、 P_c , P_c^2 , C_u は多項式を作り支持力の実験式を

$$P_c = \alpha_1 P_c + \alpha_2 P_c^2 + \alpha_3 C_u + \alpha_4 \quad \text{ただし } P_c \text{ は載荷幅全体での平均値。}$$

の形式で表わせば、各係数は表2の様になる。つぎにこれら2係数値を要因 S, ε_1 に關し直交多項式に展開すると各係数の実験式は

$$\alpha_i = \left(\sum_{j=0}^3 A_{ij} S^j \right) \varepsilon_1^2 + \left(\sum_{j=0}^3 B_{ij} S^j \right) \varepsilon_1 + \sum_{j=0}^3 C_{ij} S^j$$

の形であらわされ、 A_{ij} 等を表3に示す。以上の結果、砂盤の支持力に関する実験式はつきのようになら。

$$P_c = \left\{ \left(\sum_{j=0}^3 A_{1j} S^j \right) \varepsilon_1^2 + \left(\sum_{j=0}^3 B_{1j} S^j \right) \varepsilon_1 + \sum_{j=0}^3 C_{1j} S^j \right\} P_c + \left\{ \left(\sum_{j=0}^3 A_{2j} S^j \right) \varepsilon_1^2 + \left(\sum_{j=0}^3 B_{2j} S^j \right) \varepsilon_1 + \sum_{j=0}^3 C_{2j} S^j \right\} P_c^2 + \left\{ \left(\sum_{j=0}^3 A_{3j} S^j \right) \varepsilon_1^2 + \left(\sum_{j=0}^3 B_{3j} S^j \right) \varepsilon_1 + \sum_{j=0}^3 C_{3j} S^j \right\} C_u + \left(\sum_{j=0}^3 A_{4j} S^j \right) \varepsilon_1^2 + \left(\sum_{j=0}^3 B_{4j} S^j \right) \varepsilon_1 + \sum_{j=0}^3 C_{4j} S^j$$

3 刚塑性論からの考察：図7を参照して Ox 上の速度の x 成分 U_x (床側に連続) が一定とみなしあることの実験結果から、これを利用してすべり線の計算を行なう。図7の I 域は Ox 上の応力境界条件(定滑り)だけから独自に定まる領域。OL はその限界線(S_0)である。いま Ox' 上の主応力方向だけをとる、 Ox' 上の塑性ひずみ荷重を求めるのがあるが、過渡域の計算のアルゴリズムを略記する。i)の④⑤⑥…に

ここで、 $\theta = 30^\circ$ とし、B 点の位置 (x_0, y_0) と応力 (σ_{xy}, α) が未知数である。ここで BO に沿う直線と C の O 点の応力を未知だが、OA が十分短く、B 点の応力を代表できる。領域 OAB について OA は応力境界条件の既知な SF 面、OB は $U_x = \text{const}$ で引かれた S0 面、AB は S0' 面である。点 B は假定する主応力方向を δ_B^* とする。S0 上で $U_y = U_x \tan(\delta_B^* - \frac{\pi}{4})$ 、S0' 上で速度はすべり線方向 S_1 に沿う $|U| = U_x \sqrt{1 + \tan^2(\delta_B^* - \frac{\pi}{4})}$ である (AB を円弧近似する)。さて δ_B^* の値のいかんによらず、領域 OAB の大きさ V が変化するため、領域 OAB 内で定められた塑性仕事 \bar{V} で除した値を最大にするといふからこそ、最大塑性仕事の原理を近似的に用いる。すなはち、

$$\frac{1}{V_{0AB}} \left[\int_{S_0} f^* u \, ds + \int_{S_0'} f^* u \, ds \right] \\ \doteq \frac{2}{y_B^* x_A} \left[\left\{ \sigma_m^* + \cos 2d_B^* + \sin 2d_B^* \times \tan(d_B^* - \frac{\pi}{4}) \right\} \times y_B^* + \sqrt{1 + \tan^2(d_B^* - \frac{\pi}{4})} \times \frac{\overline{AB} (d_B - d_A) \times \frac{1}{2}}{\sin(\frac{1}{2}(d_B - d_A))} \right] \rightarrow \max_{d_B^*}$$

たがし σ_{mb}^* は特性方向 $S_1(\hat{AB})$ に沿う Kötter 式の線形差分近似を用いた。⑤, ⑥, ⑦ … もこの手法に準ずる。
ii) ②, ③, ④ … について; これら 3 の領域は 2 本の特性線 S_1, S_2 に沿う差分式を立てて求め Riemann 領域であるが、 d, σ_m の場所的変化が大きいので多段巡回積分法で計算を求める。以上で Oy 上の粘土側の σ_m, d が求まるが、 Oy 上の粘土側と砂壁側との力のつり合いで考えれば Oy 上の砂壁部の応力がすべく求まる。ただし、載荷が急速で、したがって粘土中の水の移動が無視でき、粘土側の全応力を砂壁側の有効応力とがつり合ふと仮定した。さて砂壁側は Oy 上で座標と応力が与えられ、 Ox' 上で d が与えられていったため、III 域は一般的な混合境界問題として解く了。 Ox' 上で $d = \frac{\pi}{2}$, Ox 上で $d = 0$ とした可変リーリーの形状を図 8 に示す。以上のよな数値計算の結果得られた荷重に対する支持力式は以下の形式で得られた。

$$\overline{P_s} = N_c C_u + N_{g_c} P_c + N \frac{P_c^2}{C_u} + N g_c \cdot Y_c B + N r_s \cdot Y_s B \quad (B \text{是戴荷幅})$$

4 点より: 2と3の結果の重複の最も多くものは $\delta=1\text{cm}$ $\varepsilon=13\%$ の組み合いである。種12の中に対する各係数の差は著しくない。

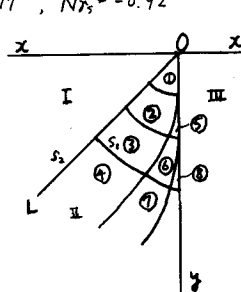
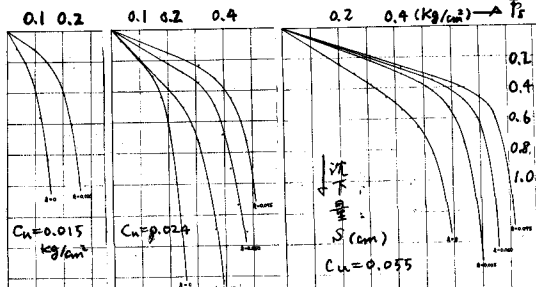
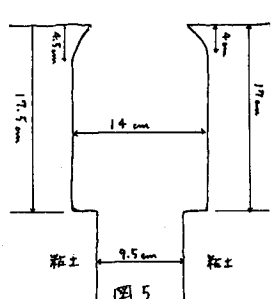
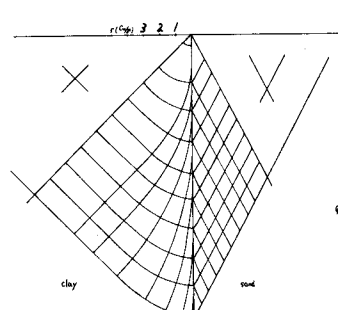


圖 1

E		%		I		%		S	
S	G	0.015	0.025	0.05	0.045	0.055	0.05	0.034	0.052
T	0	0.73	0.23	0.48	0.13	0.50	0.13	0.51	0.51
	0.025	0.24	1.05	0.22	0.26	1.05	0.17	0.26	0.26
	0.05	0.005	0.015	0.005	0.015	0.005	0.015	0.005	0.015
	0.075	0.015	0.005	0.015	0.005	0.015	0.015	0.015	0.015
B	0	0.74	0.12	0.255	0.16	0.13	0.12	0.12	0.12
	0.025	0.25	0.27	0.45	0.15	0.32	0.45	0.21	0.33
	0.05	0.21	0.715	0.25	0.45	0.21	0.715	0.42	0.72
	0.075	0.072	0.072	0.082	0.072	0.072	0.082	0.072	0.12
I	0	0.15	0.235	0.04	0.155	0.25	0.12	0.125	0.125
	0.025	0.24	0.265	0.24	0.345	0.172	0.24	0.245	0.245
	0.05	0.04	0.04	0.04	0.04	0.04	0.04	0.04	0.04
	0.075	0.095	0.08	0.095	0.095	0.095	0.095	0.095	0.095

		表 2		
	E	7%	11%	15%
7	a ₁	5.04	5.05	5.05
	a ₂	-19.20	-19.33	-19.33
8	a ₃	9.54	9.61	9.25
	a ₄	0.00	0.00	0.00
9	a ₁	5.09	5.08	5.08
	a ₂	-21.33	-21.07	-21.07
10	a ₃	9.73	9.79	9.36
	a ₄	0.00	0.00	0.00
11	a ₁	5.03	5.05	5.05
	a ₂	-21.33	-21.47	-21.47
12	a ₃	10.13	10.41	10.00
	a ₄	-	-	-



表三

	B_1	E
0	0.01	-0.01
2	-0.16	2.00
6	0.01	-0.01
0	0.00	0.00

<div data-bbox="